

LANCE

Servicio Clima Espacial

Reporte Semanal



Reporte semanal: del 1 al 8 de marzo de 2018

Resumen de la semana:

Se observaron dos hoyos coronales, en las regiones polares y otro hoyo coronal cercano al ecuador al este del disco solar. En términos generales, el clima espacial terrestre estuvo quieto durante la semana. Con excepción de la ionosfera, que presentó perturbaciones ligeras durante la semana.

Resumen del reporte previo:

No se registraron eventos de clima espacial.

Reporte semanal: del 1 al 8 de marzo de 2018

Pronóstico para la próxima semana:

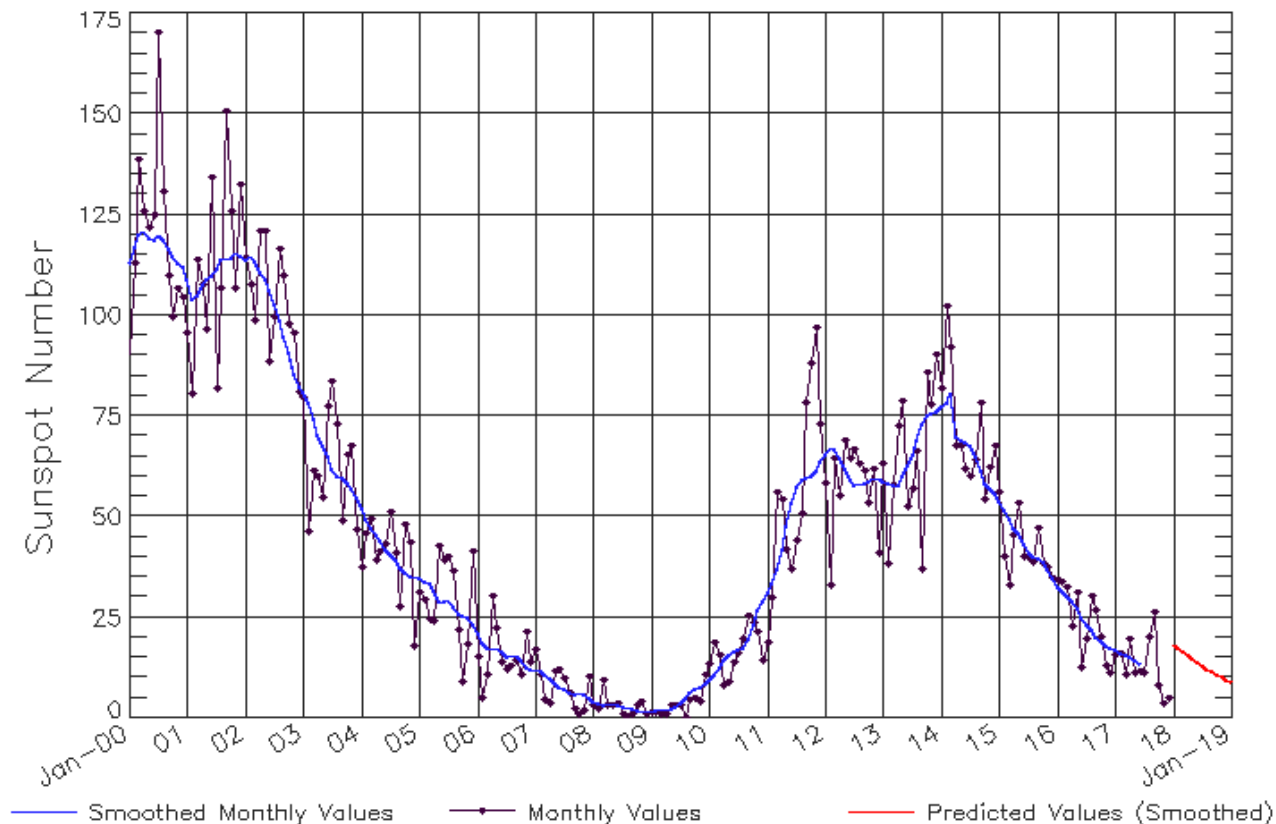
Se espera una semana quieta para el ambiente espacial terrestre dominado por viento solar lento. Posiblemente se registre la llegada de una breve corriente de viento solar rápido en las próximas horas. Es posible que, al rededor, del día 14 de marzo el ambiente terrestre sea impactado por viento solar proveniente del hoyo coronal cercano al ecuador.

Recomendaciones para la próxima semana:

- Vigilar el viento solar proveniente del hoyo coronal ecuatorial.
- Vigilar los datos in-situ a partir del 13 de marzo.

Ciclo de manchas solares y la actividad solar

ISES Solar Cycle Sunspot Number Progression
Observed data through Dec 2017



Updated 2018 Jan 8

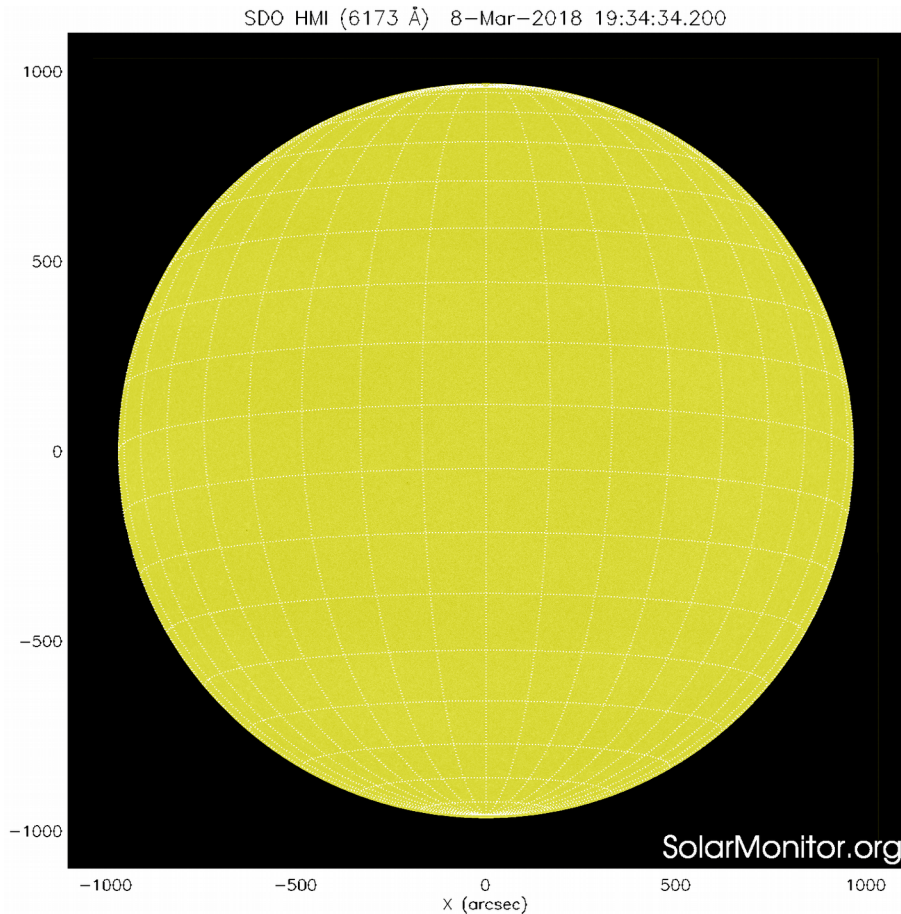
NOAA/SWPC Boulder, CO USA

<http://www.swpc.noaa.gov/products/solar-cycle-progression>

La figura muestra el conteo del número de manchas solares desde enero del 2000.

Entre más manchas solares presente el Sol, es mayor la posibilidad de que ocurra una tormenta solar.

Estamos acercándonos al mínimo de manchas solares del ciclo 24.

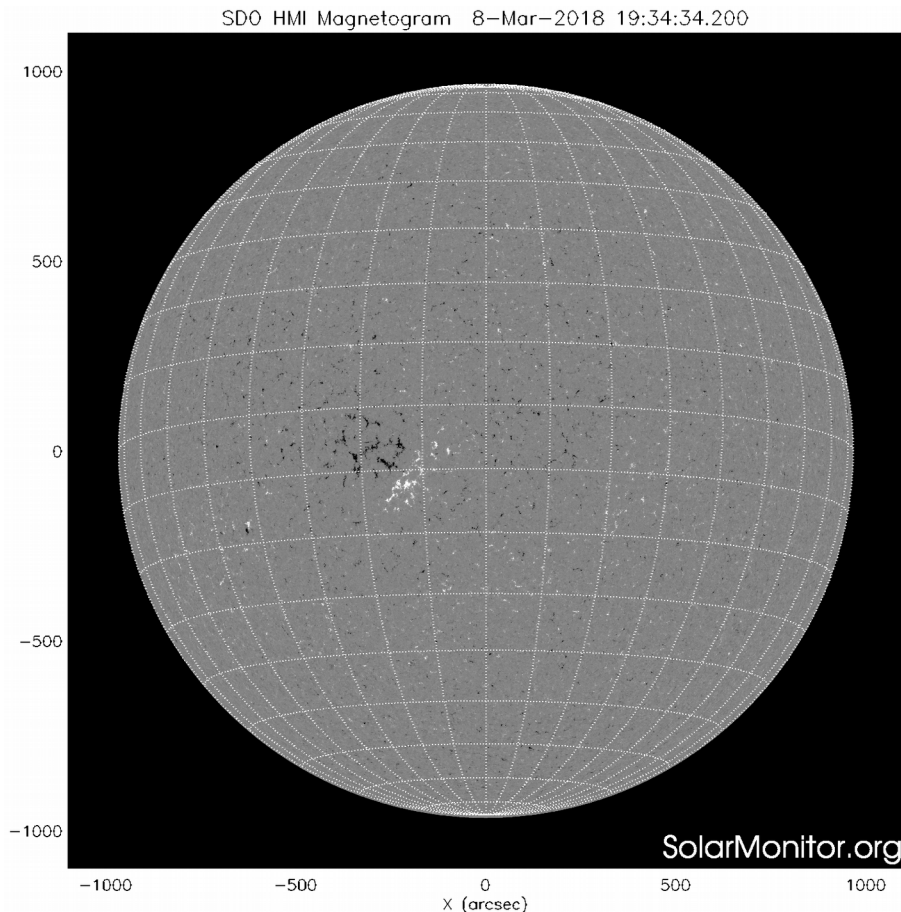


La fotosfera es la zona “superficial” del Sol, donde aparecen las manchas solares. Regiones oscuras formadas por material más frío que sus alrededores y que contienen intensos campos magnéticos. Las manchas solares están relacionadas con la actividad solar.

El Sol hoy:

La imagen más reciente de la fotosfera, tomada por el satélite artificial SDO. El Sol no muestra ningún grupo de manchas solares.

Imagen: <http://www.solarmonitor.org/>



Un magnetograma solar permite identificar las regiones de intensos campos magnéticos solares. En general, estos campos magnéticos están asociados a manchas solares, la estructura de la atmósfera solar, y están localmente cerrados.

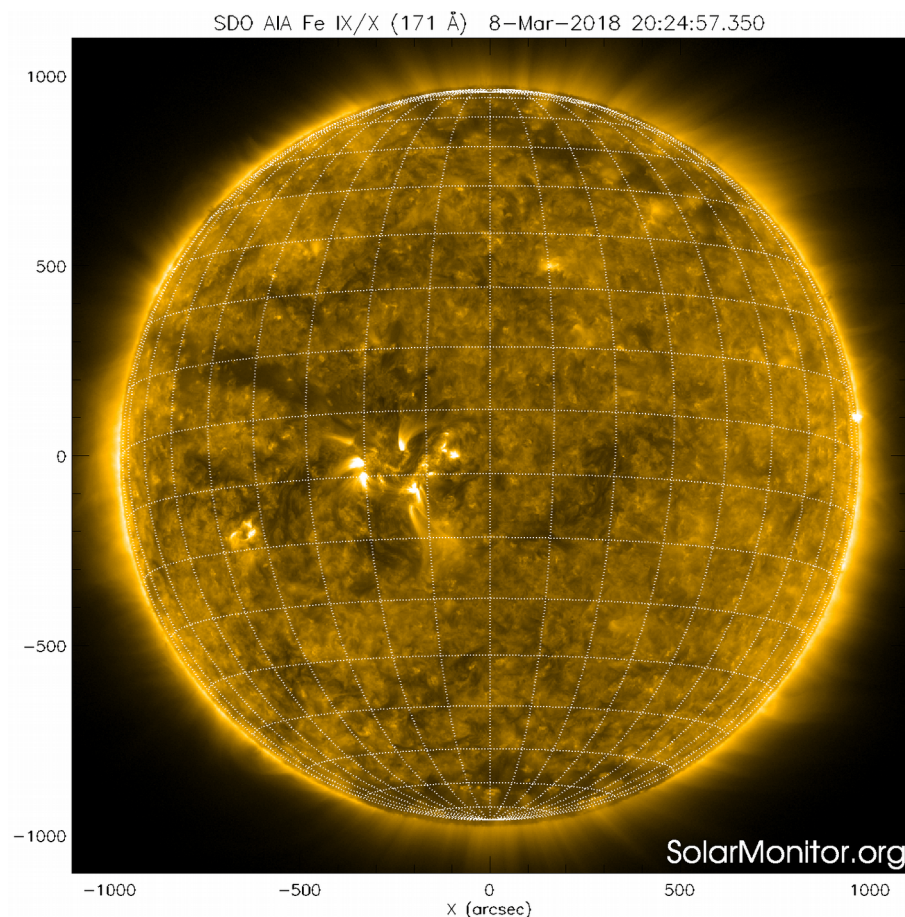
Las regiones de color blanco/negro son zonas por donde salen/entran líneas de campo magnético.

El Sol hoy:

El magnetograma más reciente tomado por el satélite artificial SOHO. Hay una región magnética difusa cerca del centro del disco solar.

Imagen: <http://www.solarmonitor.org/>

Atmósfera solar y regiones activas



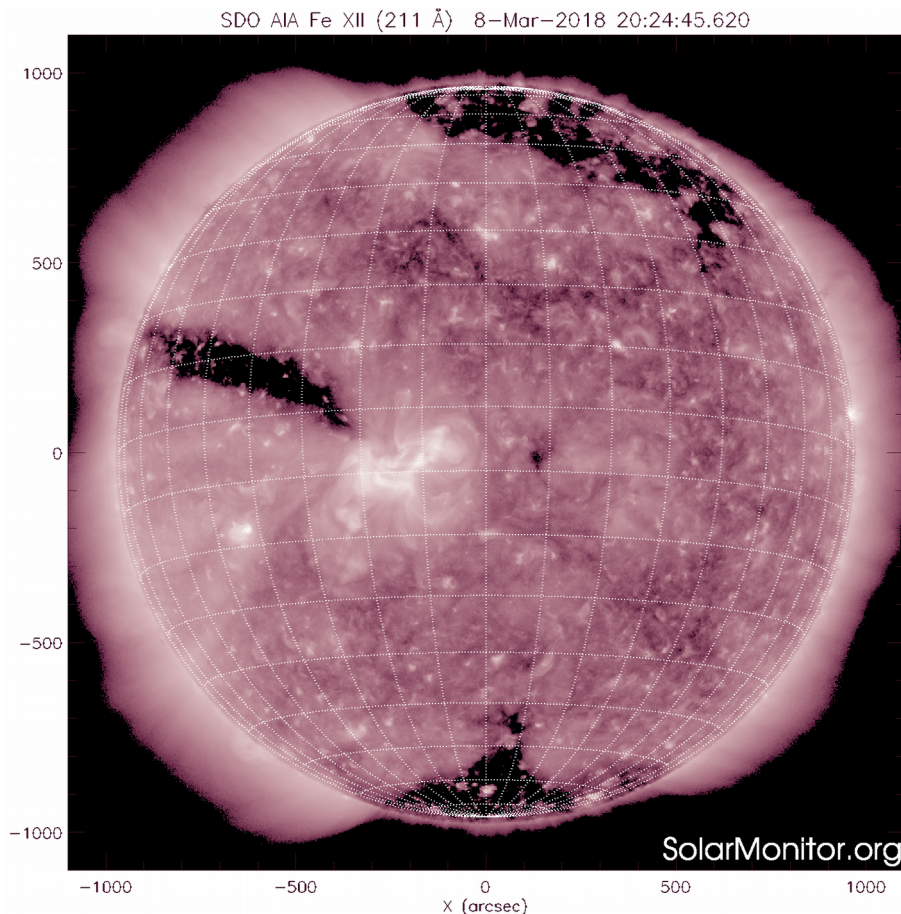
El Sol en rayos X suaves (171 Å). La emisión de Fe IX y X revela la estructura magnética en la región de la atmósfera solar llamada corona solar que se encuentra a 6.3×10^5 K.

Las regiones activas (zonas claras) son los lugares donde se presentan los fenómenos de actividad solar más importantes. Las regiones activas están regularmente asociadas a las manchas solares.

El Sol hoy:

Imagen más reciente, tomada por el satélite artificial SDO, muestra la región activa observable el día de hoy. No se observan estructuras significativas.

Imagen: <http://www.solarmonitor.org/>



El Sol en rayos X suaves (211 Å). La emisión de Fe XIV revela la estructura magnética en la alta corona que se encuentra a 2×10^6 K.

Los hoyos coronales (regiones oscuras) son regiones de campo magnético solar localmente abierto. Los hoyos coronales son fuente de las corrientes de viento solar rápido.

El Sol hoy:

Imagen más reciente, tomada por el satélite artificial SDO, muestra hoyos coronales, uno en la región norte, otro en el polo sur y uno en la región ecuatorial del disco solar, en el lado este (izquierdo). Es importantes señalar que el viento solar proveniente del hoyo coronal ecuatorial podría afectar el ambiente terrestre la próxima semana.

Imagen: <http://www.solarmonitor.org/>

Actividad solar: Fulguraciones solares

Flujo de rayos X solares detectado por los satélites GOES.

A lo largo de la semana no se presentaron fulguraciones.

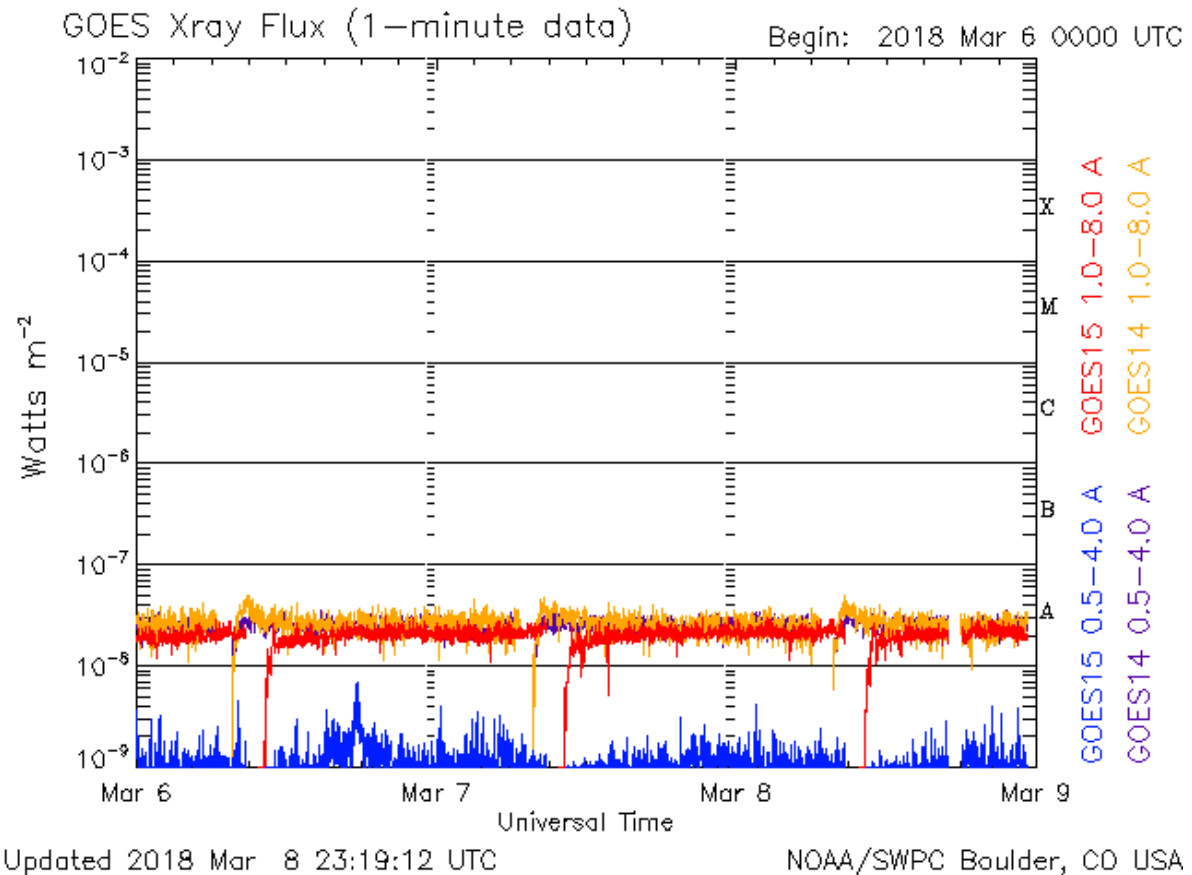


Imagen: <http://services.swpc.noaa.gov/images/goes-xray-flux.gif>

Medio interplanetario: Región de interacción de viento solar

Esta semana se observó una ligera región de compresión (área sombreada). La velocidad del viento solar rápido es de ~400 km/s y su origen es un hoyo coronal ecuatorial de polaridad negativa. El cruce de la interfase de corriente se indica con la línea vertical amarilla. La región de compresión no generó tormenta geomagnética.

Fecha: 2018/03/01
Hora: 6:57 T.U.

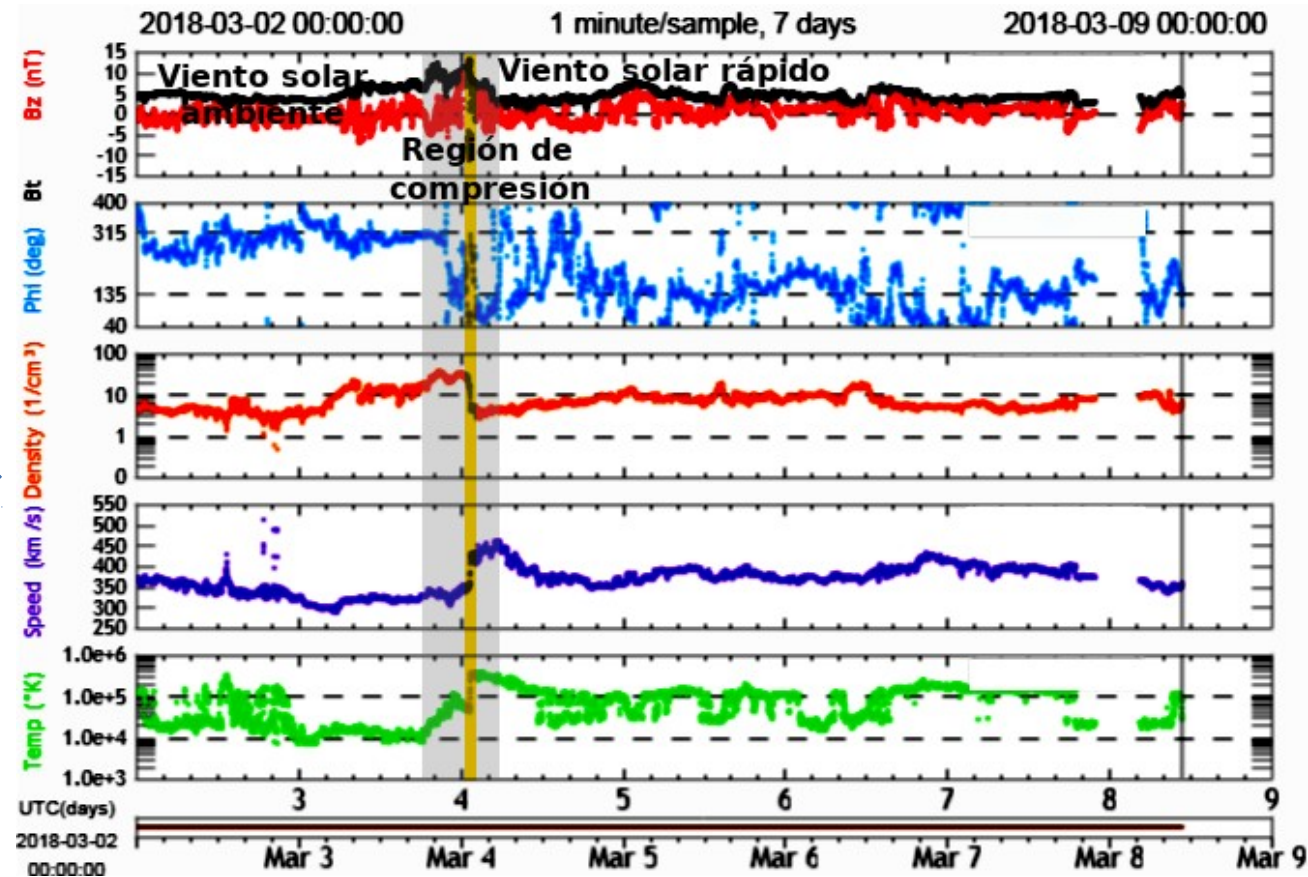
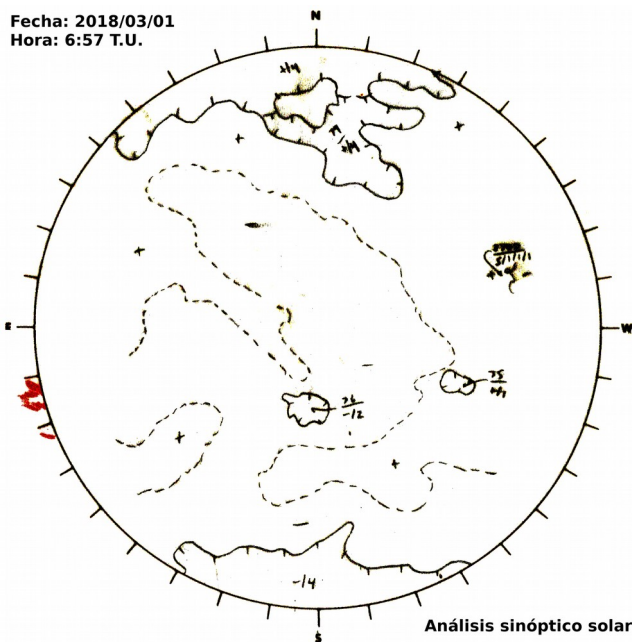


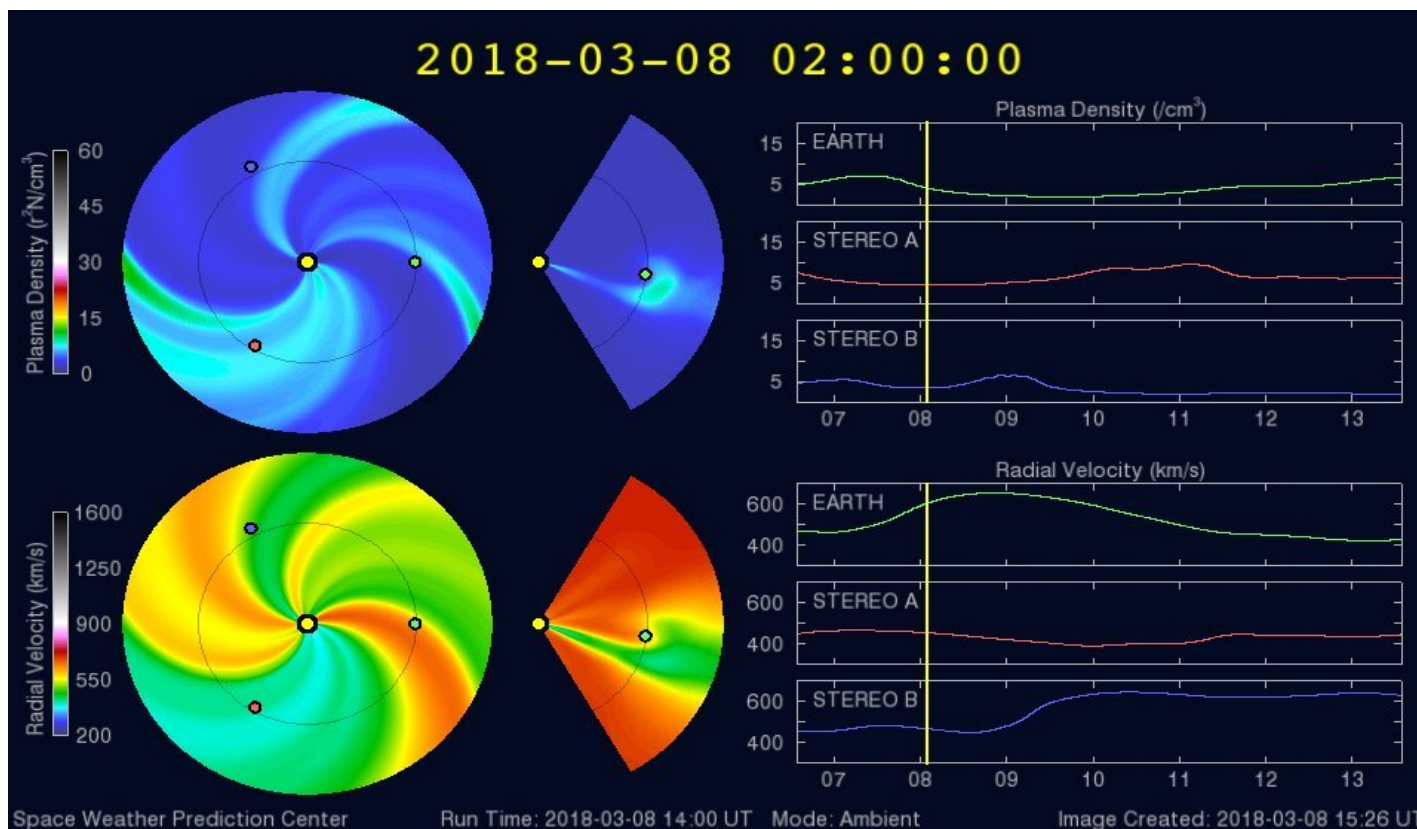
Imagen: ftp://ftp.swpc.noaa.gov/pub/synoptic_maps/

Imagen: <http://www.swpc.noaa.gov/products/real-time-solar-wind>

Medio interplanetario: El viento solar cercano a la Tierra

Modelo numérico WSA-ENLIL.

El modelo pronostica un ambiente solar terrestre dominado por corrientes de viento solar rápido con velocidades promedio (400-450 km/s) y algunas corrientes rápidas de 600 m/s el día 9 de marzo, sin embargo no habrán variaciones en la densidad. No pronostica la llegada de alguna EMC para los próximos días.



Medio interplanetario: El viento solar cercano a la Tierra

Modelo numérico IPS-Driven ENLIL.

En contraste con el modelo WSA-ENLIL, este modelo pronostica corrientes de viento solar lento de 300 km/s sin aumentos importantes en la densidad. El viento solar será de temperatura baja y no provocará variaciones en la magnitud del campo magnético. No pronostica que ocurra alguna EMC en los próximos días.

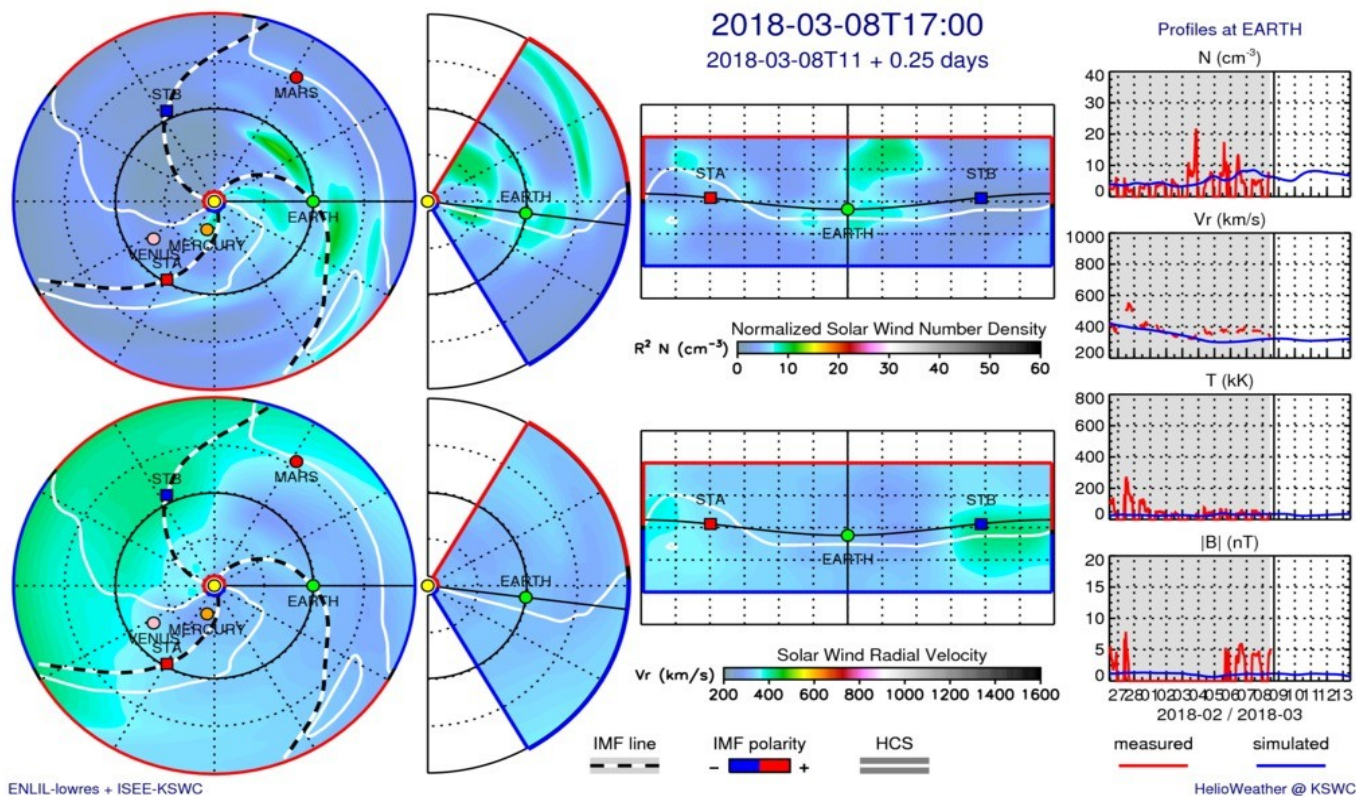
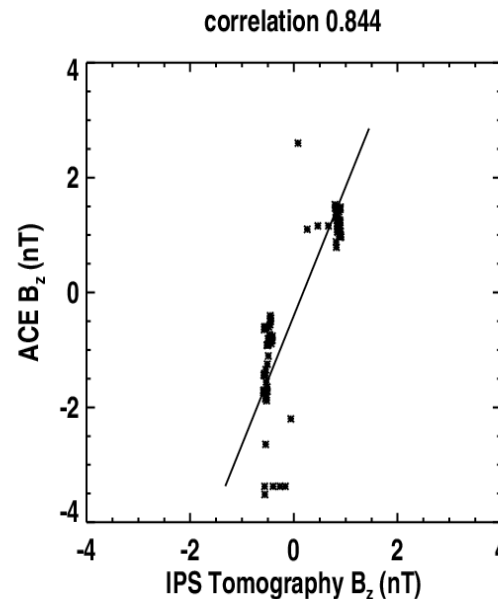
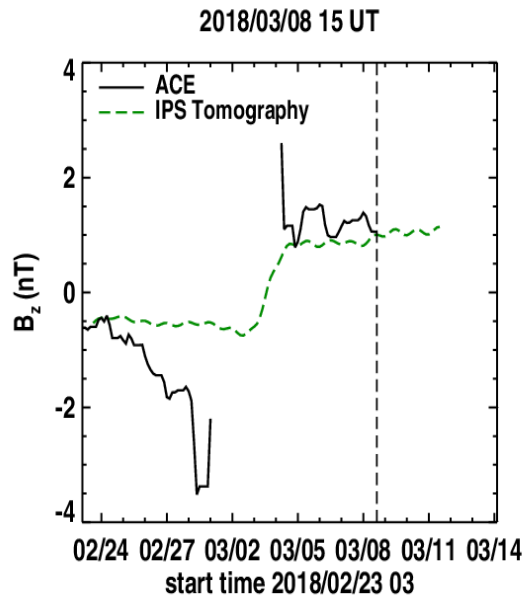


Imagen: <http://spaceweather.rra.go.kr/models/ipsbdenlil>

Medio interplanetario: Pronóstico de Bz en L1



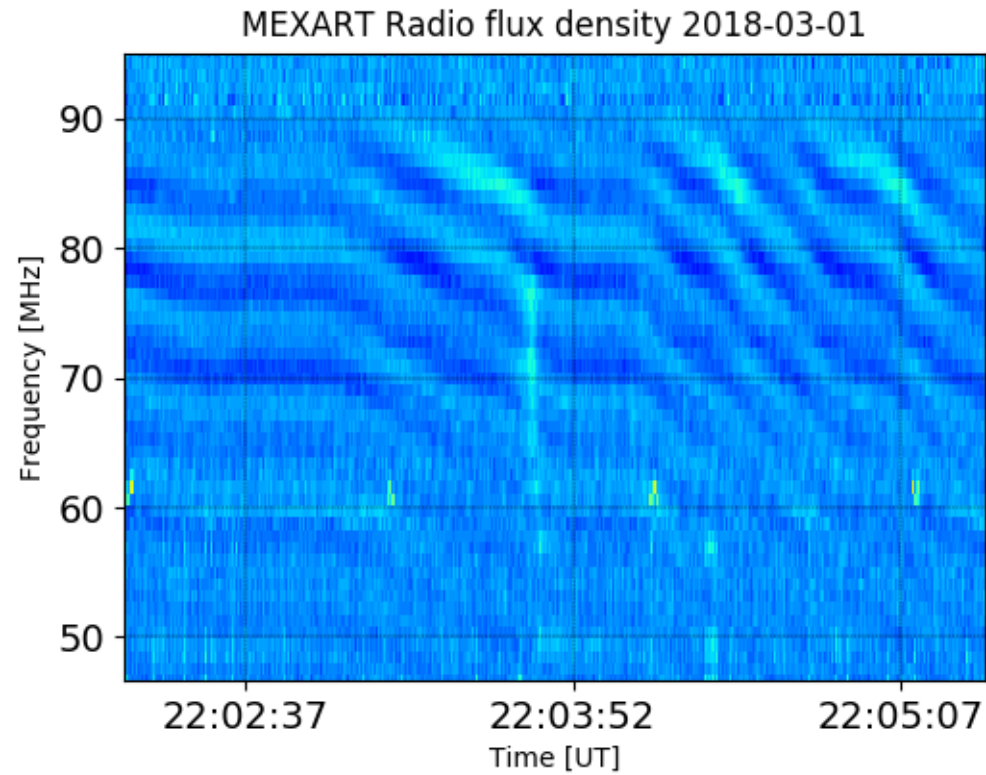
Pronóstico de la componente Bz del viento solar cercano a la Tierra usando la tomografía con datos IPS.

en: http://ips.ucsd.edu/high_resolution_predictions

(Izquierda) Se pronostica una componente B_z positiva, lo cual indica que el Dst será estable.

(Derecha) La comparación con las observaciones del Advanced Composition Explorer (ACE) indican una correlación del 0.844 entre los datos de la simulación y las observaciones.

Estallidos de radio solares: Callisto-MEXART



Evento	Fecha	Hora [UTC]
1	01/03/2018	22:03:38

- <http://www.e-callisto.org>

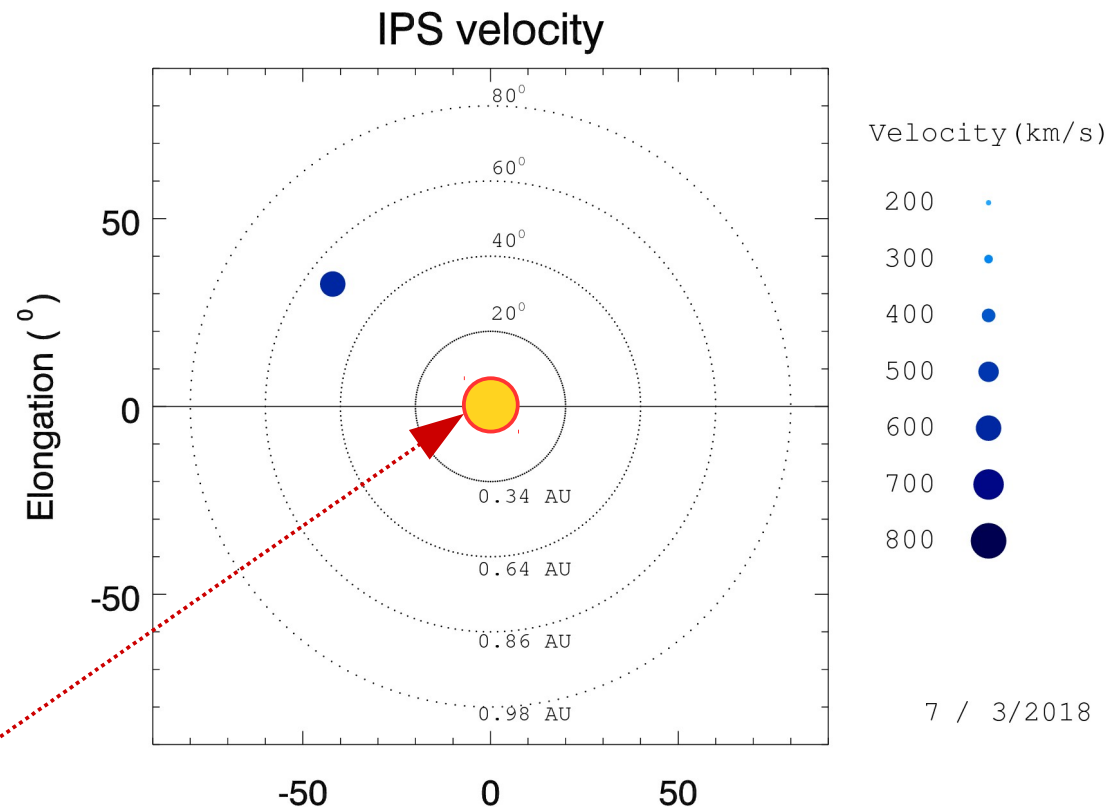
Medio Interplanetario: Mediciones de viento solar con IPS

Velocidades de 610, 725, 515, 690, 660, 715 y 690 km/s los días 1, 2, 3, 4, 5, 6 y 7 de marzo a 0.6 UA en zona noreste.

Fuentes de centelleo interplanetario registradas por el MEXART

La imagen muestra círculos azules correspondientes a fuentes de radio, estos objetos son núcleos de galaxias activas actualmente observadas por MEXART.

En la ubicación aparente de los objetos encontramos la velocidad del viento solar.



Sol visto por un observador en Tierra

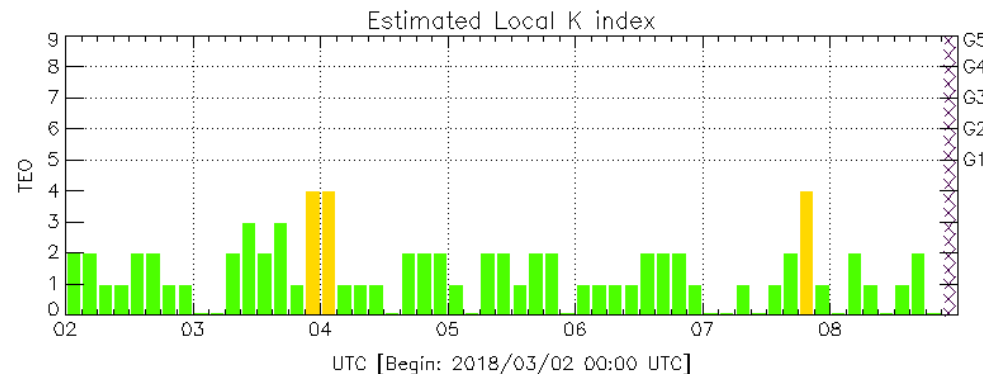
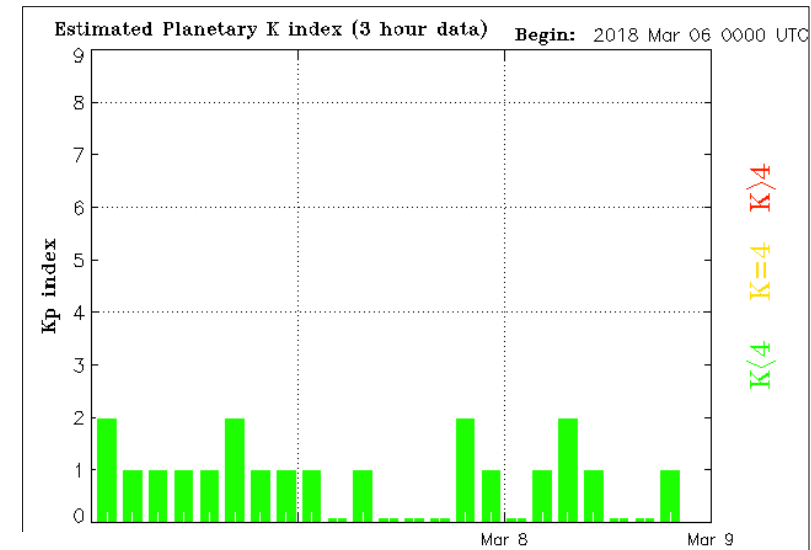
No se detectó centelleo ionosférico

Perturbaciones geomagnéticas: Índices geomagnéticos Kp y Kmex

Imagen: <http://services.swpc.noaa.gov/images/planetary-k-index.gif>

El índice K indica la intensidad de las variaciones del campo magnético terrestre en intervalos de 3 horas. El índice Kp lo expresa a escala planetaria, mientras que el Kmex lo hace para el territorio mexicano.

A lo largo de la semana el campo geomagnético estuvo quieto en términos generales.



Color Code: ■ quiet, ■ perturbed, ■ storm, XXXX data not available.

TEO: Teoloyucan Geomagnetic Observatory (LAT 19.746, LON -99.193)

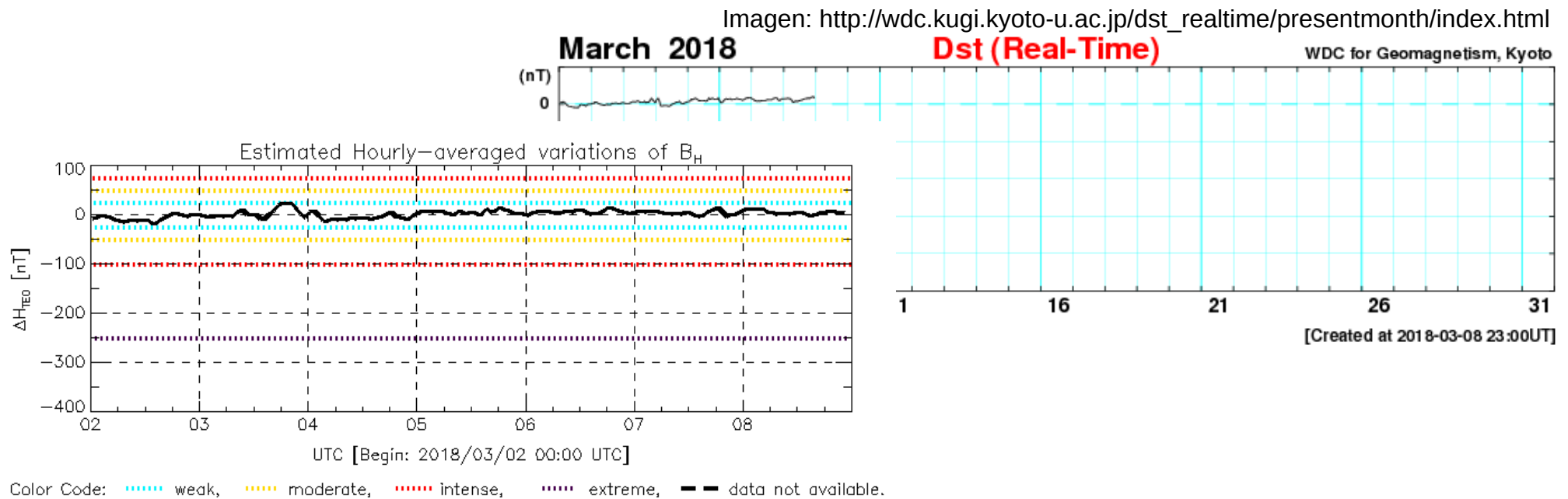
LANC/SCIESMEX - Morelia, Mich., MX

Updated: 2018/03/08-21:00 UTC

Perturbaciones geomagnéticas: Índice Dst y ΔH

Los índices Dst y ΔH miden las variaciones temporales de la componente horizontal del campo geomagnético, el primero a escala planetaria y el segundo para México. Estas variaciones, en general, se deben al ingreso de partículas anómalas al ambiente espacial terrestre.

A lo largo de la semana, los índices DST y ΔH no mostraron alteraciones significativas.



TED: Teoloyucan Geomagnetic Observatory (LAT 19.746, LON -99.193)

LANC/SCIESMEX - Morelia, Mich., MX

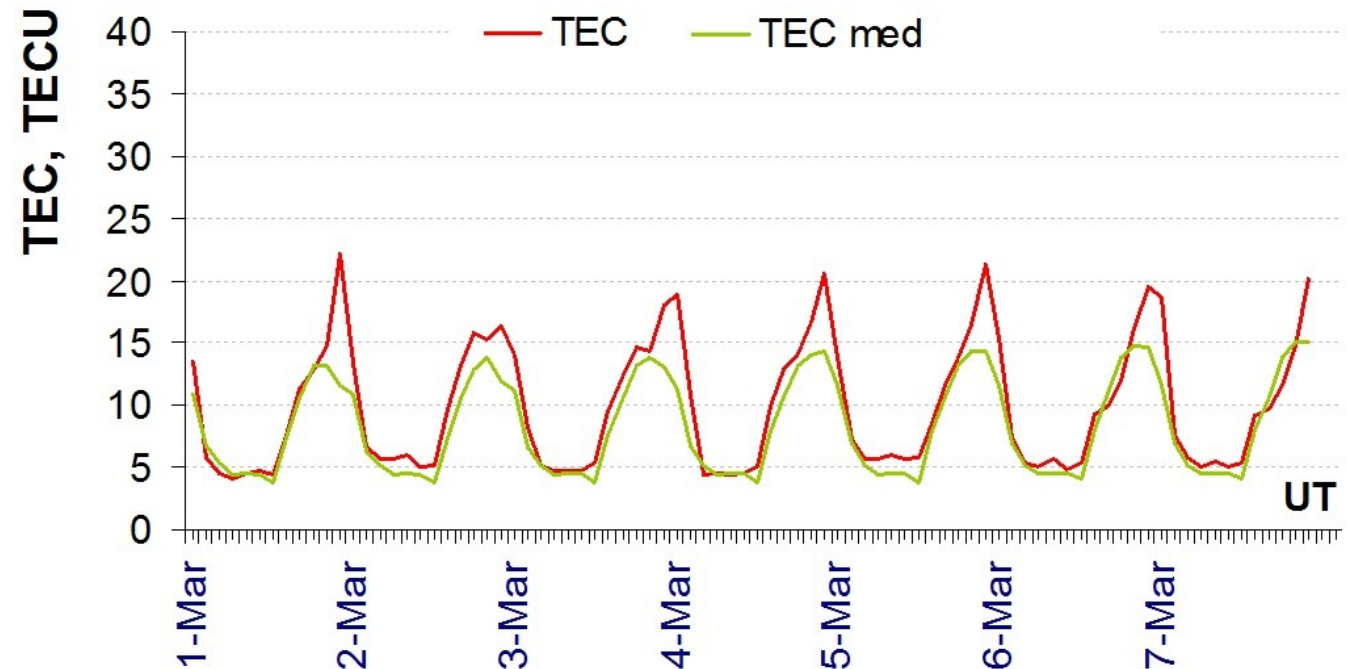
Updated: 2018/03/08-23:00 UTC

Ionósfera sobre México: TEC y DTEC en el centro del país

El contenido total de electrones (TEC) es un parámetro que sirve para caracterizar el estado de la ionosfera de la Tierra.

Serie temporal de los valores de TEC vertical durante 01-07.03.2018 con base en los datos de la estación local UCOE (TLALOCNet, UNAVCO) en las instalaciones del Mexart:

Según los datos locales, TEC presentó valores moderadamente aumentados a lo largo de la semana con su máximo el 01 de marzo.

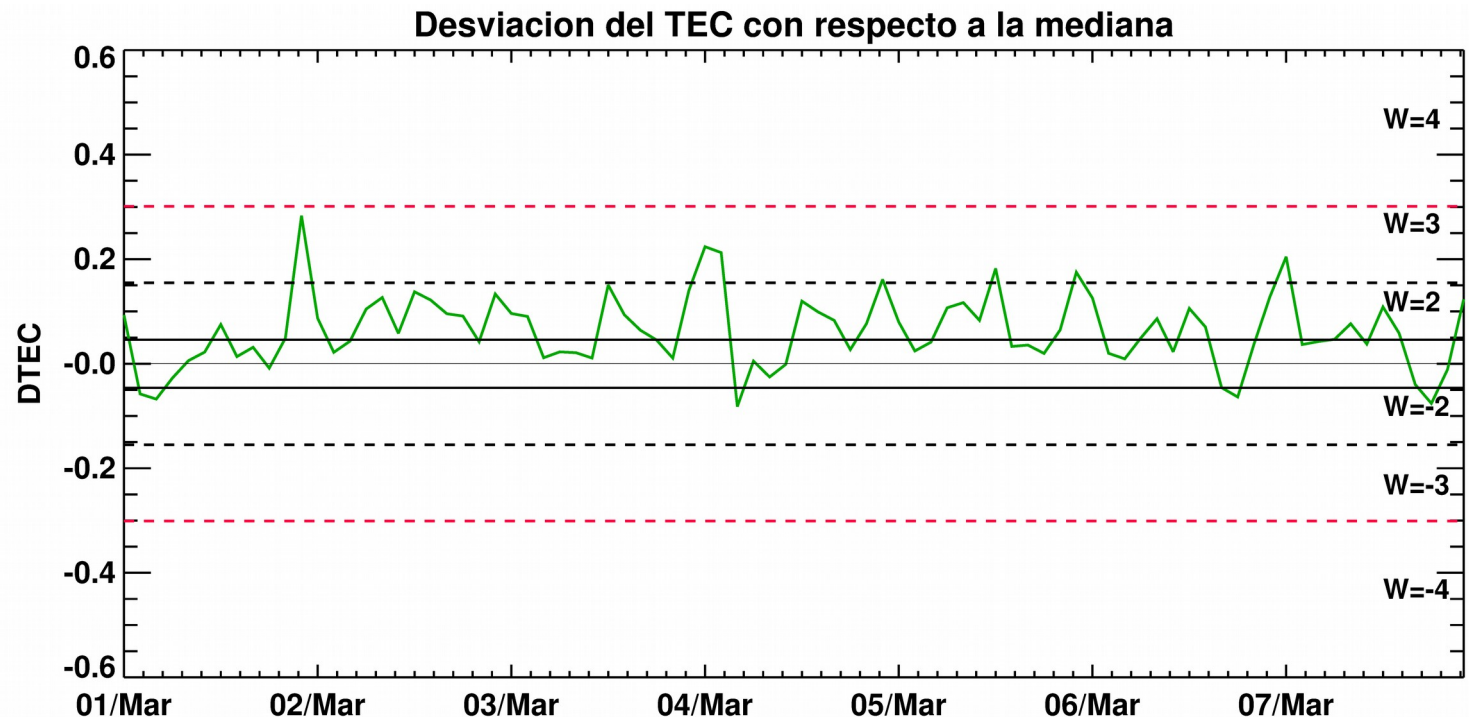


El cálculo se realiza en base de TayAbsTEC software del Instituto de Física Solar-Terrestre, Sección Siberiana de la Academia de Ciencias de Rusia. Referencia: Yasyukevich et al., Influence of GPS/GLONASS Differential Code Biases on the Determination Accuracy of the Absolute Total Electron Content in the Ionosphere, Geomagn. and Aeron., ISSN 0016_7932, 2015.

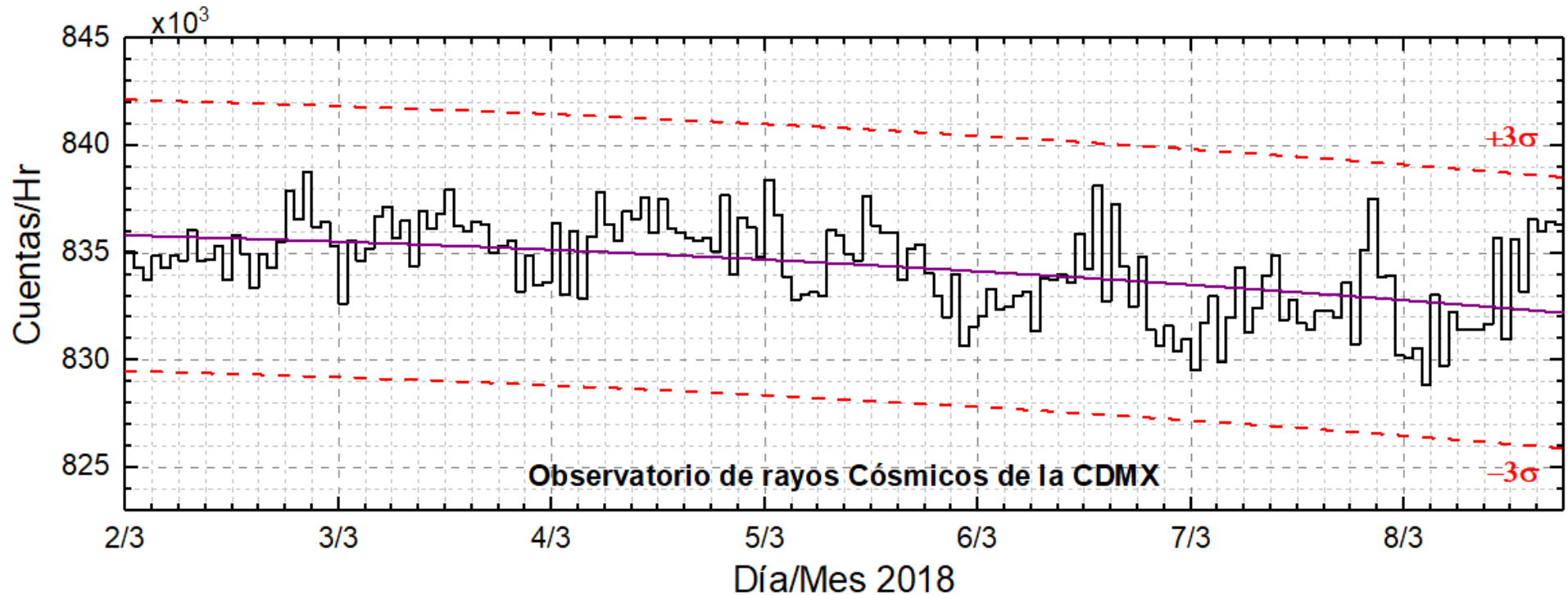
Ionósfera sobre México: DTEC en el centro del país:

Desviación de TEC de su mediana (DTEC) de los 27 días anteriores al día de observación e Índice de clima ionosferico W durante 08-14.02.2018 con base en los datos de la estación local UCOE (TLALOCNet, UNAVCO) en las instalaciones del MEXART:

Esta semana se observaron perturbaciones moderadas (W=3) de corta duración, la más significativa ocurrió el día 2 de marzo.



Referencia: Gulyaeva, Arikan, Hernandez-Pajares, Stanislawski. GIM-TEC adaptive ionospheric weather assessment and forecast system. J. Atm. Solar-Terr. Phys., 102, doi:10.1016/j.jastp.2013.06.011, 2013.



<http://www.cosmicrays.unam.mx/>

Datos del Observatorio de Rayos Cósmicos de la Ciudad de México. La curva púrpura representa el promedio de los datos registrados, las líneas discontinuas rojas representan la significación de los datos (3σ). Cuando se registran variaciones mayores a 3σ , es probable que éstas sean debidas a efectos de emisiones solares en el flujo de rayos cósmicos.

En la semana del 02 al 08 de marzo de 2018, no se detectaron incrementos significativos ($>3\sigma$) en las cuentas de rayos cósmicos galácticos.

UNAM/LANCE/SCiESMEX

Dr. J. Américo González Esparza

Dr. Víctor De la Luz Rodríguez

Dra. Maria Sergeeva

Dr. Pedro Corona Romero

Dr. Julio C. Mejía Ambriz

Dr. Luis Xavier González Méndez

Dr. Ernesto Aguilar-Rodríguez

Dr. José Juan González-Aviles

Dra. Oyuki Chang

M.C. Elsa Sánchez García

UANL

Dr. Eduardo Pérez Tijerina

Dra. Esmeralda Romero Hernández

LANCE

Ing. Ernesto Andrade Mascote

M.C. Pablo Villanueva Hernández

Ing. Pablo Sierra Figueredo

UNAM ENES-Morelia

Dr. Mario Rodríguez Martínez

RADIACIÓN SOLAR

Elizandro Huipe

Lic. Francisco Tapia

Carlos Miranda

RAYOS CÓSMICOS

Dr. José Francisco Valdés Galicia

Fis. Alejandro Hurtado Pizano

Ing. Octavio Musalem Clemente

SERVICIO MAGNÉTICO

M.C. Esteban Hernández Quintero

M.C. Gerardo Cifuentes Nava

Dra. Ana Caccavari Garza

Elaboración: Equipo SCiESMEX

Revisión: Ernesto Aguilar Rodríguez

Créditos

Agradecimientos

El Laboratorio Nacional de Clima Espacial (LANCE) es parcialmente financiado por: el programa Cátedras CONACYT Proyecto 1045 y el Fondo Sectorial AEM-CONACYT proyecto 2014-01-247722. Agradecemos a todos los responsables y colaboradores de instrumentos del LANCE y a las redes de estaciones GPS del Servicio Sismológico Nacional y TalocNET por facilitar sus datos. Agradecemos a Gerardo Cifuentes, Esteban Hernández y Ana Caccavari por los datos del Observatorio magnético de Teoloyucan. De igual forma, agradecemos los servicios de IGS (International GNSS Service) por permitirnos usar los datos IONEX disponibles en: <ftp://cdis.gsfc.nasa.gov/pub/gps/products/ionex>. Adicionalmente, queremos indicar que los datos RINEX fueron obtenidos de las siguientes redes de receptores GPS: del Servicio Sismológico Nacional (SSN), IGEF-UNAM, SSN-TLALOCNet y TLALOCNet. Agradecemos a su personal, particularmente al personal del SSN y a José A. Santiago por el mantenimiento de estaciones, la adquisición de datos y su distribución. También reconocemos el trabajo de campo, la ingeniería y el soporte de IT para las redes TLALOCNet y SSN-TLALOCNet GPS-Met de Luis Salazar-Tlaczani (Instituto de Geofísica-UNAM), John Galetzka, Adam Woolace y todo el personal de ingeniería de UNAVCO Inc. Agradecemos a UNAVCO (www.unavco.org) por la oportunidad de descargar datos en Internet. Parte de las operaciones de la red TLALOCNet y SSN-TLALOCNet GPS fueron apoyadas por The National Science Foundation bajo el proyecto EAR-1338091 a UNAVCO Inc., proyectos CONACyT 253760 y 256012, proyecto UNAM-PAPIIT IN109315-3 de E. Cabral-Cano y proyecto UNAM-PAPIIT IN111509 de R. Pérez. De igual forma agradecemos al LACIGE-UNAM de la ENES Unidad Morelia por los datos GPS, adquiridos a través del proyecto de infraestructura CONACYT: 253691 de M. Rodríguez-Martínez. El cálculo de TEC se realiza: 1) utilizando el software US-TEC que es un producto de operación del Space Weather Prediction Center (SWPC), desarrollado a través de una colaboración entre National Geodetic Survey, National Oceanic and Atmospheric Administration (NOAA) y el Cooperative Institute for Research in Environmental Sciences of the University of Boulder, Colorado, 2) con base en el software TayAbsTEC del Instituto de Física Solar-Terrestre, Sección Siberiana de la Academia de Ciencias Rusa.

Créditos

Datos

Imágenes de coronógrafo, flujo de rayos X y modelo WSA-ENLIL:

<http://www.swpc.noaa.gov/products>

<http://iswa.ccmc.gsfc.nasa.gov/IswaSystemWebApp/>

Imágenes de coronógrafo:

<http://sohowww.nascom.nasa.gov/data/>

Imágenes del disco solar y de la fulguración:

<http://www.solarmonitor.org/>

Detección y caracterización de EMCs:

<http://www.sidc.oma.be/cactus/out/latestCMEs.html>

<http://spaceweather.gmu.edu/seeds/>

ISES:

<http://www.spaceweather.org/>

International Network of Solar Radio Spectrometers (e-callisto):

<http://www.e-callisto.org/>

German Research Center For Geociencias Postdam:

<http://www.gfz-potsdam.de/en/sektion/erdmagnetfeld/daten-dienste/kp-index/>

**Data Analysis Center for Geomagnetism and Space Magnetism,
Kyoto University:**

<http://wdc.kugi.kyoto-u.ac.jp/index.html>

UNAVCO:

<http://www.unavco.org>

SSN:

<http://www.sismologico.unam.mx/>

SOHO Spacecraft NASA:

<http://sohowww.nascom.nasa.gov/>

SDO Spacecraft NASA:

<http://sdo.gsfc.nasa.gov/>

Space Weather Prediction Center NOAA:

<http://www.swpc.noaa.gov>

GOES Spacecraft NOAA:

<http://www.ngdc.noaa.gov/stp/satellite/goes/index.html>

ACE Spacecraft NOAA

<http://www.srl.caltech.edu/ACE/ASC/index.html>